# ИССЛЕДОВАНИЕ СПЕКТРАЛЬНЫХ СВОЙСТВ СЕЙСМИЧЕСКИХ СИГНАЛОВ ПРИ НАЛИЧИИ НЕРЕГУЛЯРНОЙ ПОМЕХИ

## А.И. Осипенко Томский политехнический университет Osipenko7@sibmail.com

### Введение

Часто на практике решается задача оценки спектров сейсмических импульсов при наличии помех [1].

Целью данной работы является изучение методики расчета на ПЭВМ амплитудных и фазовых спектров, а так же исследование их свойств.

Как известно импульсные сигналы заданы во временной области в виде некоторой функции времени S(t) либо в спектральной области в виде его комплексного спектра S(f).

При цифровой обработке информации сигнал S(t) представляется в виде дискретной последо-

вательности 
$$S(n\Delta t) = S(n), n = \overline{0, N-1},$$

 $T=N\Delta t$ .

Дискретное преобразование Фурье (ДПФ) в общем случае можно записать:

$$S(k\Delta f) = \sum_{n=0}^{N-1} S(n\Delta t) e^{-j2\pi k\Delta f n\Delta t} ; \qquad (1)$$

$$S(n\Delta t) = \sum_{k=-\infty}^{\infty} S(k\Delta t) e^{j2\pi k\Delta f n\Delta t}, \qquad (2)$$

где  $S(k\Delta f)$  - комплексный спектр, который можно представить в виде:

$$S(k\Delta f) = A(k\Delta f) - jB(k\Delta f), \tag{3}$$

где

$$A(k\Delta f) = \sum_{n=0}^{N-1} S(n\Delta t) \cos 2\pi k \Delta f n \Delta t \qquad (4)$$

$$B(k\Delta f) = \sum_{n=0}^{N-1} S(n\Delta t) \sin 2\pi k \Delta f n \Delta t$$
 (5)

Выражения (4), (5) обычно используются для определения AЧХ и ФЧХ сигналов на ЭВМ по формулам (6), (7) соответственно

$$|S(f)| = \sqrt{A^2(f) + B^2(f)}$$
 (6)

$$\varphi(f) = \arctan \frac{B(f)}{A(f)} + 2\pi n \tag{7}$$

Интервал дискретизации по частоте определя-

ется [2]: 
$$\Delta f = \frac{1}{N\Delta t}$$
.

При определении фазового спектра осуществляется расчет только главных значений

$$rctgrac{B(f)}{A(f)}$$
, заключенных в интервале от  $-rac{\pi}{2}$ 

до 
$$\frac{\pi}{2}$$
, что может приводить к возникновению

скачков в фазовом спектре. Один из наиболее простых алгоритмов устранения скачков заключается

в следующем: определение 
$$rctgrac{B(f)}{A(f)}$$
 осу-

ществляется в области от  $-\pi$  до  $\pi$  с учетом знаков действительной A(f) и мнимой B(f)частей преобразования Фурье. Такой способ сводится к следующей схеме:

Воспользуемся наиболее простым алгоритмом устранения скачков:

$$\varphi(f_{1}) = \varphi^{p}(f_{1});$$

$$\varphi(f_{k}) = \varphi(f_{k-1}) + (\varphi^{p}(f_{k}) - \varphi^{p}(f_{k-1})) + B_{0};$$

$$B_{0} = \begin{cases}
0, & |\varphi^{p}(f_{k}) - \varphi^{p}(f_{k-1})| < \pi \\
2\pi, & (\varphi^{p}(f_{k}) - \varphi^{p}(f_{k-1})) \le -\pi \\
-2\pi, & (\varphi^{p}(f_{k}) - \varphi^{p}(f_{k-1})) \ge \pi,
\end{cases}$$
(9)

гдек - номер отсчета дискретного шага, k=1...n,  $\varphi^p(f)$ ,  $\varphi(f)$  - соответственно расчетное и доопределенное значения фазового спектра.

Теперь будем считать, что на некотором интервале записей наблюдаются сейсмические сигналы, регистрируемые на фоне нерегулярных помех. Математическая модель такого поля может быть представлена в виде:

$$x(t) = s(t - \tau) + \xi(t),$$
 (10)

где  $s(t-\tau)$ - сейсмический сигнал;

 $\xi(t)$ - гауссова помеха;

au - временное положение сейсмического сигнала. Примем в качестве сигналаимпульс с колокольной огибающей вида:

 $S(t) = A_0 e^{-\beta^2 (t - t_0)^2} \cos(2\pi f_0(t - t_0) + \varphi_0)$  (11)

где  $A_0$  – амплитуда импульса (  $A_0 = 1$ );

 $\beta$ – коэффициент затухания (  $\beta = 60$  );

 $f_0$  – основная частота (  $f_0 = 40 \, \Gamma$ ц);

 $t_0$  – временной сдвиг сигнала

 $\varphi_0$  – начальная фаза (  $\varphi_0 = 0$  ).

На рисунке 1 представлен исходный сигнал, $m_{\xi} = \mathbf{0}, \sigma_{\xi}^2 = \mathbf{1}$ .

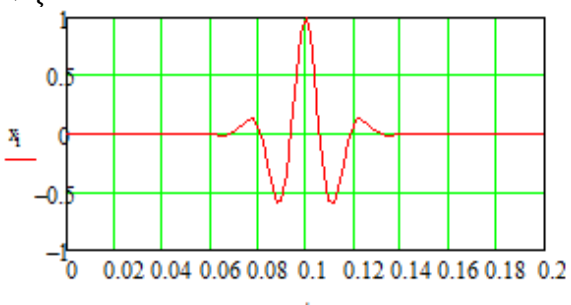


Рис. 1. Исходный сигнал

На рисунке 2, 3 представлены амплитудный и фазовый спектры сигнала.

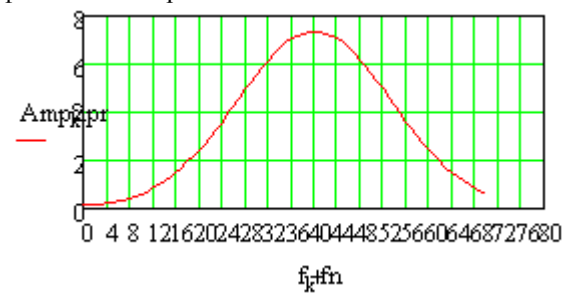


Рис. 2. Амплитудный спектр сигнала

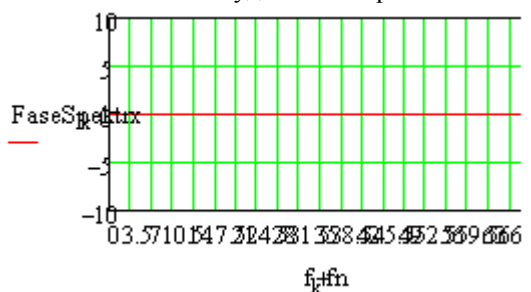


Рис. 3. Фазовый спектр сигнала

Будем считать, что помеха имеет нормальное распределение с математическим ожиданием  $m_{\xi}$  и дисперсией  $\sigma_{\xi}^2$ . Для генерации помехи воспользуемся встроенным в Mathcadдатчиком случайных величин, распределенных по нормальному закону: n:=rnorm(N,µ, $\sigma$ ).

На рисунке 4 представлен сигнал смеси сигнала и помехи.

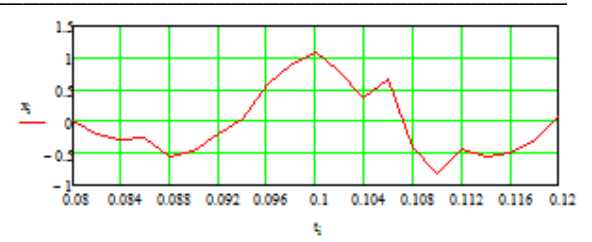


Рис. 4. Смесь сигнала и помехи

Далее проведем расчет спектральных характеристик смеси сигнала и помехи с помощью описанных выше процедур (1-7). Представление амплитудно-частотной и фазо-частотной характеристики представлены на рисунках 5-6.

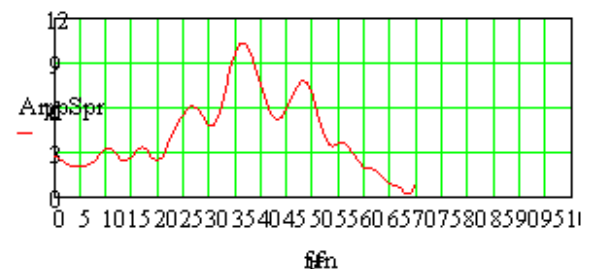


Рис. 5. Амплитудно-частотная характеристика смеси сигнала и помехи

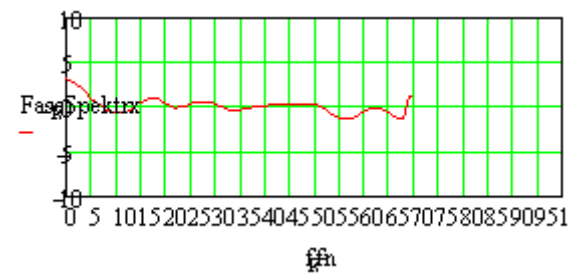


Рис. 6. Фазо-частотная характеристика смеси сигнала и помехи

#### Заключение

Из представленных выше рисунков видно, что амплитудно-частотная характеристика смеси сигнала и помехи имеет форму близкую к колокольной, а при наличии шума возникают флуктуации. Фазо-частотная характеристика смеси сигнала и помехи является стационарной. Таким образом наиболее характерную форму имеет фазовый спектр сейсмических сигналов.

### Литература

- 1. У.М.Сиберт. Цепи, сигналы, системы. Ч. II. М.: Мир, 1988.
- 2. В.Г.Карташев. Основы теории дискретных сигналов и цифровых фильтров. М.: Высшая школа, 1982.
- 3. Иванченков В.П., Кочегуров А.И. Определение временного положения сейсмических сигналов по оценкам их фазочастотных характеристик //Геология и геофизика. −1988. –№9. –с. 77-83.
- 4. Дженкинс Г., Ваттс Д. Спектральный анализ и его приложения М.: Мир. −1971. −316 с.